



Makine Teknolojileri Elektronik Dergisi
Cilt: 11, No: 3, 2014 (1-9)

Electronic Journal of Machine Technologies
Vol: 11, No: 3, 2014 (1-9)

**TEKNOLOJİK
ARAŞTIRMALAR**

www.teknolojikarastirmalar.com
e-ISSN:1304-4141

**Makale
(Article)**

Farklı İşleme Derinliklerinde Uygulanan Titreşimlerin Elektro-Erozyon ile İşleme Performansına Etkisi

Ali ÖZGEDİK*, Can ÇOĞUN**

*Gazi Üniversitesi, Teknoloji Fakültesi, İmalat Mühendisliği Bölümü, Ankara, Türkiye
ozgedik@gazi.edu.tr

**Çankaya Üniversitesi, Mühendislik Fakültesi, Mekatronik Mühendisliği Bölümü, Ankara, Türkiye
cogun@cankaya.edu.tr

Özet

Bu çalışmada, Elektro-Erozyon ile İşleme (EEİ) tekniğinin performans çıktılarına iyileştirmek amacı ile işparçasına farklı frekansta titreşimlerin uygulandığı boşalım akımı ve işleme derinliği gibi farklı işleme koşullarında deneyler yapılmıştır. Deneylerde titreşimsiz koşullara göre elektrot aşınma hızı (EAH) ve bağıl aşınma (BA) değerlerinde belirgin azalma elde edilmiştir. Titreşimli deneylerde işparçası işleme hızı (İİH) ve ortalama yüzey pürüzlülüğü (R_a) değerlerinde EAH ve BA değerlerine göre daha küçük değişimler tespit edilmiştir.

Anahtar Kelimeler: Elektro-erozyon ile işleme, titreşim, işleme derinliği

Effect of Applied Vibrations for Different Machining Depths on Electric Discharge Machining Performance

Abstract

In this study, vibrations with different frequencies were applied to workpiece for improving the electric discharge machining (EDM) stability and performance outputs. Experiments were conducted with different machining conditions such as discharge current and machining depth. Experiments have shown that there is a significant improvement in the value of tool wear rate (TWR) and relative wear (RW) when compared to experiments without vibrations. Minor changes have been obtained in the value of workpiece removal rate (WRR) and surface roughness of workpiece (R_a) at experiments with machining tank vibration when compared to changes in the value of TWR and RW.

Keywords: Electric discharge machining, vibration, machining depth

1. GİRİŞ

EEİ, dielektrik sıvı içerisinde elektrot ile işparçası arasında oluşan elektriksel boşalmanın işparçası yüzeyinden çok küçük bir hacmi aşındırması esasına dayanır. İletken elektrot geometrisi işparçasında oluşturulacak boşluğa göre tasarlanıp imal edilir. EEİ yöntemi çok sert, kırılğan, yüksek mukavemetli, yüksek sıcaklığa dayanıklı malzemelerin işlenmesinde yaygın olarak kullanılmaktadır.

Bu makaleye atıf yapmak için

Özgedik A., Çoğun C.**; "Farklı İşleme Derinliklerinde Uygulanan Titreşimlerin Elektro-Erozyon ile İşleme Performansına Etkisi" Makine Teknolojileri Elektronik Dergisi 2014, (11) 1-9*

How to cite this article

Özgedik A., Çoğun C.**; "Effect of Applied Vibrations for Different Machining Depths on Electric Discharge Machining Performance" Electronic Journal of Machine Technologies, 2014, (11) 1-9*

EEİ'de talař kaldırma, iřparçası malzemesinin ergimesi ve buharlařması ile gerekleřmektedir [1]. İřleme esnasında iřparçasından malzeme kaldırılırken elektrodun da ařındığı gözlenmektedir [2, 3]. Dielektrik sıvı uygulama řeklinin uygun ve hızının yeterli olmaması halinde iřleme aralıęında iřleme atıklarından meydana gelen ařırı bölgesel kirlenme nedeniyle iřparçası ile elektrot arasında kısa devre ve ark tipi vurumların oluřumunun arttığı belirlenmiřtir. Bunun sonucu olarak, iřparçası iřleme hızında (İİH) dūřuř, elektrot ařınma hızında (EAH) ve baęlı ařınmada ($BA=EAH/İİH$) artıř, kōtū yūzey kalitesi ve tolerans dıřı boyutlar gōrölūr [3-5].

Literatūr arařtırması sonucunda EEİ iřleminin kararlılıęının ve performans ıktılarının iřleme bořluęundaki iřleme atıklarının ortamdaki uzaklařtırılması ile doęrudan iliřkili olduęu, bunun da iřleme derinlięine ve elektrot geometrisine baęlı olduęu bilinmektedir. Dielektrik sıvı, iřleme atıklarını iřleme ortamından uzaklařtırmanın yanında krater iindeki ergimiř iřparçası malzemesinin bir kısmının da iřparçası yūzeyinde tekrar katılařmasına neden olmaktadır. EEİ teknięindeki bu problemleri en aza indirmek ve iřleme performansını arttırabilmek amacı ile iřleme parametreleri ile ilgili bilimsel alıřmaların yanı sıra elektrot, iřparçası ve dielektrik ortama kazandırılan dinamik hareketler ile yapılan deneysel alıřmalar iřleme performans ıktıları üzerinde olumlu etkiler saęlamıřtır.

EEİ teknięi ile ultrasonik titreřimli elektrot kullanılarak yapılan deneylerde iřparçası yūzeyinde oluřan kavitasyonun ergimiř malzeme havuzunu kolaylıkla bořalttığı, elektrodun pompalama etkisinin daha iyi dielektrik sirkūlasyonu oluřturduęu, iřleme hızında ve kararlı bořalım sayısında artıř olduęu tespit edilmiřtir [6-9].

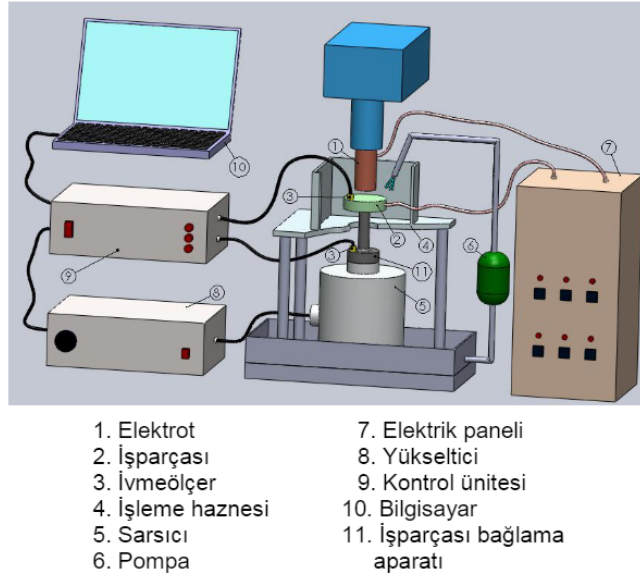
İřparçasına uygulanan ultrasonik titreřimler ile oluřan dalgaların hareketi ile kavitasyon ve akustik akıntı etkilerinin incelendięi deneylerde MEEİ iřleminin ultrasonik titreřimler ile daha kararlı hale geldięi, iřleme atıklarının uzaklařtırılma hızının arttığı, yūzey pūrūzlölūęünün önemli derecede iyileřiđi ve ark oluřumunun azaldığı tespit edilmiřtir [10]. Ultrasonik iřparçası titreřimleri neticesinde oluřan kavitasyonun iřlemede önemli bir etki olduęu, iřleme ortamının titreřim etkisi ile pompalanması sonucu daha iyi sirkūle edilmesinin ark oluřumlarını azalttığı ve MEEİ performansını arttırdığı belirtilmiřtir [11]. Artan titreřim genlięi ve frekansı ile iřleme derinlięinin arttığı ve iřparçası titreřimli deneylerde frekansın iřlemede en önemli parametre olduęu [12], iřleme parametrelerine baęlı olarak iřparçası titreřimli deneylerde İİH deęerlerinin titreřimsiz MEEİ ile elde edilen deęerlerin 4 ile 8 katı arasında olduęu tespit edilmiřtir [13]. İřleme haznesine uygulanan yūksek frekanstaki titreřimlerin EAH ve BA deęerlerini belirgin bir řekilde azalttığı, İİH deęerlerinde ok belirgin artıřlara neden olmadığı ve yūzey pūrūzlölūęü (R_a) deęerlerinin azalmasına neden olduęu belirtilmiřtir [14].

Elektrot ve iřparçasına uygulanan titreřimler sonucu iřleme performansında meydana gelen olumlu geliřmelerin geneli MEEİ teknięinde veya silindirik deliklerin klasik EEİ teknięi ile iřlenmesinde elde edilmiřtir. Klasik EEİ teknięi gōz önüne alındığında kullanılan karmařık řekilli ve MEEİ'ye gōre daha būyūk boyutlu elektrotlar ile yapılan iřlemelerde bu uygulamaların ve sonularının ne ölçūde geerli olabileceęi bilinmemektedir.

Bu alıřmada, iřleme ortamına karıřan partikūllerin iřparçasına uygulanacak titreřimler sayesinde daha etkin bir řekilde uzaklařtırılması ve her bir bořalım sonrası iřparçası kraterinde bulunan ergimiř malzemenin tekrar katılařmadan krater dıřına daha fazla atılarak iřleme hızının arttırılması amalanmıřtır. Bu ama doęrultusunda iřparçasına doęrudan uygulanan farklı frekanstaki titreřimler ve deęiřik iřleme kořullarında (bořalım akımı ve iřleme derinlięi) deneyler yapılmıřtır.

2. DENEYSEL YÖNTEM

Deneylerde FURKAN EDM M25 Model isopulse jeneratöre sahip dalma tipi elektro erozyon tezgahı kullanılmıştır. İşparçasına titreşim uygulayabilmek için tezgahın kendi işleme haznesine uygun boyutlarda özel işleme haznesi imal edilmiştir (Şekil 1). Uygulanacak titreşimlerin üretilmesi için Ling Dynamic Systems (LDS) firmasına ait 196 N'luk LDS V406/8 model sarsıcı, LDS PA 100E model yükseltici, LDS-Dactron marka COMET USB Sarsıcı denetim sistemi (Shaker Control System) kullanılmıştır. Deneylerde işparçası olarak $7,8 \text{ gr/cm}^3$ yoğunluklu 60 mm çapında ve 5 mm kalınlığında disk şeklinde işlenmiş Ç1040 çelik, elektrot olarak $8,9 \text{ gr/cm}^3$ yoğunluklu 20 mm çapında 25 mm uzunluğunda silindirik elektrolitik bakır ve dielektrik olarak gazyağı kullanılmıştır. Deneylerde farklı boşalım akımı, titreşim frekansı ve işleme derinliği değerlerinde (Tablo 1) İİH, EAH, BA ve R_a değerlerinin gösterdiği değişim incelenmiştir. Bu frekans değerlerinde yaklaşık $1 \mu\text{m}$ genlikli titreşimler işparçasına uygulanmıştır. Titreşimsiz deneyler sarsıcı ünite ile işparçası arasındaki bağlantı çözümlenerek gerçekleştirilmiştir.



Şekil 1. İşparçası titreşimli EEİ tekniği şematik görünümü

Tablo 1. İşleme derinliği deney parametreleri

Deney Parametreleri	Değerler
Boşalım Akımı (i_d) [A]	12, 25
Vurum Süresi (t_s) [μs]	200
Titreşim frekansı (f_v) [Hz]	0, 2222, 4000, 6667
Bekleme Süresi (t_p) [μs]	50
İşleme derinliği (h) [mm]	2, 4, 6
Dielektrik sıvı	Gazyağı
Dielektrik sıvı pompa basıncı (P) [bar]	0,5
Kutuplama	Elektrot (+)

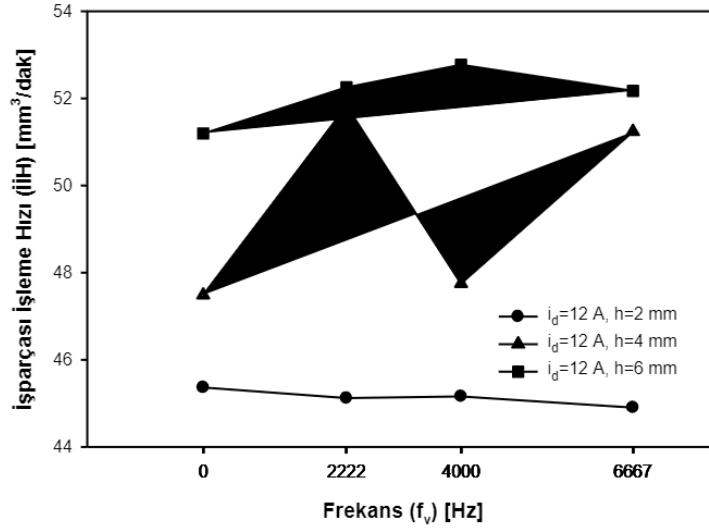
3. DENEYSEL SONUÇLAR

3.1. İřleme derinliđinin İİH üzerindeki etkisi

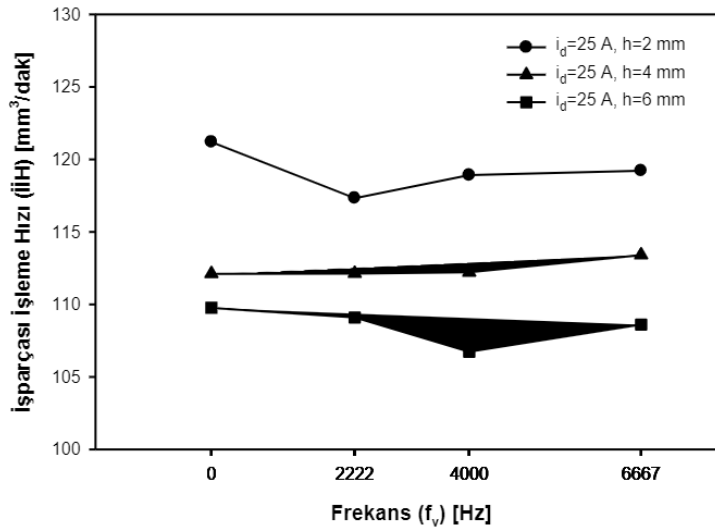
İřparçası titreřimli 12 A-2 mm kořulunda İİH titreřimsiz kořula gre ortalama %0,66 azalırken (Őekil 2), 4 mm ve 6 mm kořullarında sırası ile ortalama %5,86 ve %2,35 artış elde edilmiřtir.

25 A kořulu 2 mm ve 6 mm iřleme derinliđinde titreřimsiz kořula gre İİH sırası ile ortalama %2,24 ve %1,48 azalmıřtır (Őekil 3). 25 A-4 mm kořulunda İİH titreřimsiz kořula gre ortalama %0,42 artmıřtır.

12 A kořulunun 4 mm ve 6mm iřleme derinliđinde iřparçasına uygulanan titreřimler ile İİH artmıřtır. Uygulanan titreřimlerin iřleme derinliđine bađlı olarak kçük akım deđerinde İİH üzerinde daha etkili olmasının sebebi yksek akım deđerinde byk hacimli ergimiř iřparçası malzemesinin uygulanan titreřimler ile daha zor uzaklařtırılması ile iliřkilendirilmiřtir.



Őekil 2. Titreřim frekansının farklı iřleme derinlikleri iin İİH üzerindeki etkisi (i_d=12 A)



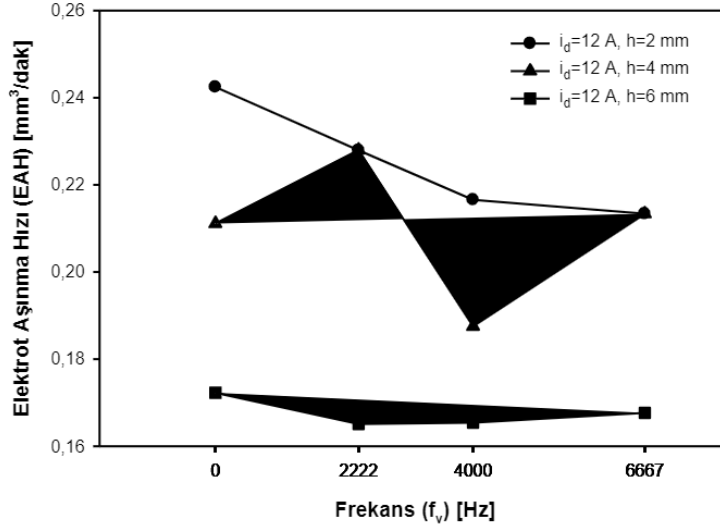
Őekil 3. Titreřim frekansının farklı iřleme derinlikleri iin İİH üzerindeki etkisi (i_d=25 A)

3.2. İşleme derinliğinin EAH üzerindeki etkisi

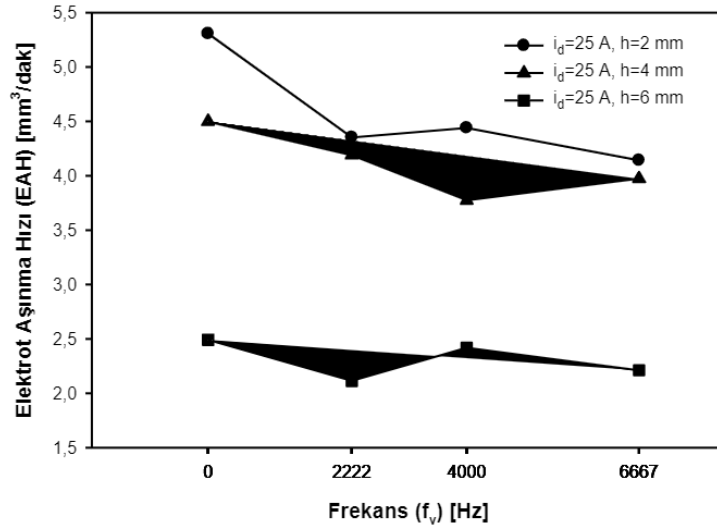
İşparçasına uygulanan titreşimler EAH değerlerini titreşimsiz koşullara göre tüm işleme derinliklerinde genelde azaltmıştır.

12 A-2 mm koşulunda EAH titreşimsiz koşula göre ortalama %9,56 azalırken (Şekil 4), 4 mm işleme derinliğinde sadece 4000 Hz koşulunda %11,97 azalmıştır. 12 A-6 mm koşulunda titreşimsiz koşullara göre EAH ortalama %3,61 azalmıştır.

25 A koşulunun 2 mm, 4 mm ve 6 mm işleme derinliklerinde titreşimsiz koşullara göre EAH sırası ile ortalama %18,74, %11,56 ve %9,78 azalmıştır (Şekil 5).



Şekil 4. Titreşim frekansının farklı işleme derinlikleri için EAH üzerindeki etkisi (i_d=12 A)



Şekil 5. Titreşim frekansının farklı işleme derinlikleri için EAH üzerindeki etkisi (i_d=25 A)

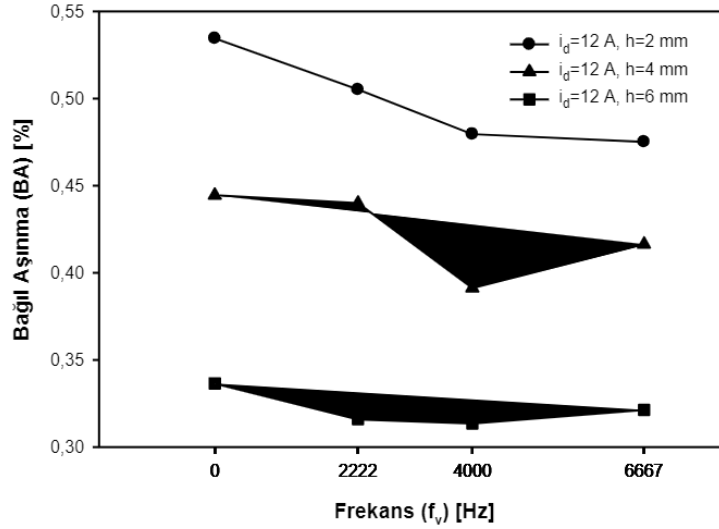
3.3. İřleme derinliđinin BA üzerindeki etkisi

İřparçasına uygulanan titreřimler ile BA her iřleme derinliđi kořulu iin azalmıřtır.

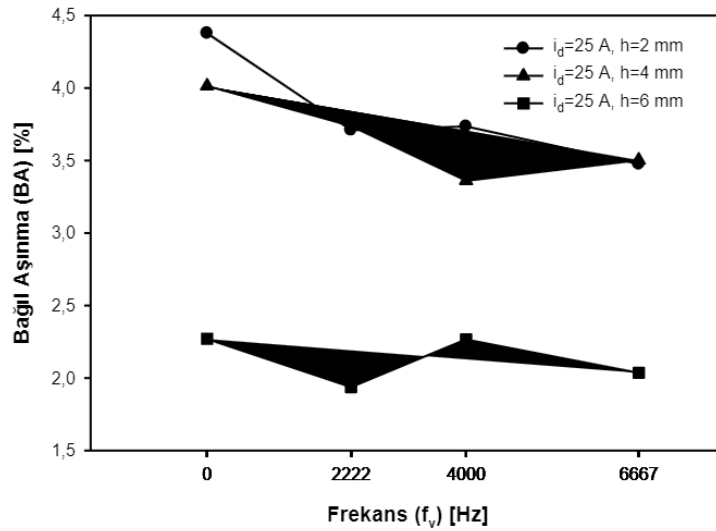
BA deđerleri 12 A kořulunun 2 mm, 4 mm ve 6 mm iřleme derinliđinde titreřimsiz kořullara gre sırası ile ortalama %8,95, %6,43 ve %4,63 azalmıřtır (řekil 6).

25 A kořulunda titreřimsiz kořullara gre BA 2 mm iřleme derinliđinde ortalama %16,87 azalırken 4 mm ve 6 mm iřleme derinliđinde sırası ile ortalama %11,97 ve %8,36 azalmıřtır (řekil 7).

İřparçasına uygulanan titreřimler BA üzerinde en ok 2mm iřleme derinliđinde etkili olmuř, bunu 4 mm ve 6 mm takip etmiřtir.



řekil 6. Titreřim frekansının farklı iřleme derinlikleri iin BA üzerindeki etkisi (i_d=12 A)



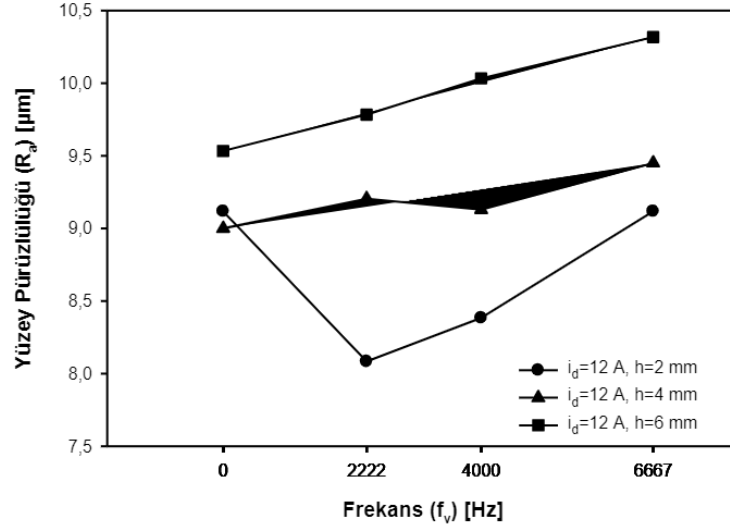
řekil 7. Titreřim frekansının farklı iřleme derinlikleri iin BA üzerindeki etkisi (i_d=25 A)

3.4. İşleme derinliğinin R_a üzerindeki etkisi

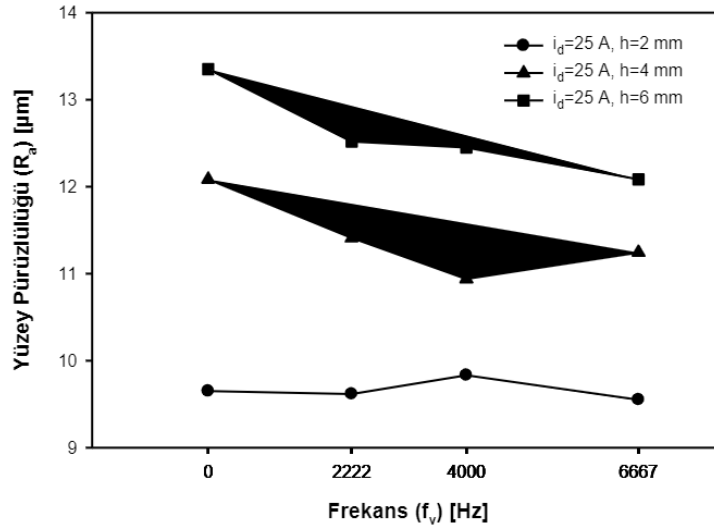
12 A-2 mm koşulunda R_a titreşimsiz koşula göre ortalama %6,46 azalırken, 4 mm ve 6 mm koşullarında sırası ile ortalama %2,9 ve %5,36 artmıştır (Şekil 8).

Titreşimsiz koşula göre 25 A-2 mm koşulunda uygulanan titreşimlerin R_a üzerindeki etkisi ihmal edilebilir düzeydeyken, 4 mm ve 6 mm koşullarında R_a titreşimsiz koşula göre %7,33 ve %7,49 azalmıştır (Şekil 9).

İİH ve R_a değerlerinin aynı işleme derinliklerinde artmış olması kraterlerin uygulanan titreşimler ile daha fazla boşaltılabilmiş olması ile açıklanabilir. Uygulanan titreşimlerin İİH değerlerinde çok etkili olmadığı derin işleme koşullarında R_a değerlerinin azaldığı tespit edilmiştir.



Şekil 8. Titreşim frekansının farklı işleme derinlikleri için R_a üzerindeki etkisi ($i_d=12$ A)



Şekil 9. Titreşim frekansının farklı işleme derinlikleri için R_a üzerindeki etkisi ($i_d=25$ A)

4. SONUÇLAR

Bu alıřmada EEİ'de dielektrik sıvı sirkülasyonunu kolaylařtırmak, aşınmış partiküllerin iřleme ortamından daha etkin bir řekilde uzaklařtırılmasını saęlamak ve boşalım sonrası ergimiř iřparası malzemesinin tekrar katılařmadan kraterden daha fazla atılmasını saęlamak amacı ile doğrudan iřparasına uygulanan farklı frekanstaki titreřimler ve deęiřik iřleme derinliklerinde deneyler yapılmıřtır.

İřparasına uygulanan 2222 Hz, 4000 Hz ve 6667 Hz frekanslı titreřimler İİH deęerlerinde belirgin bir artış saęlayamazken uygulanan titreřimler boşalım akımının bütün deęerlerinde titreřimsiz kořullara göre EAH deęerlerini azaltmıřtır. EAH deęerlerindeki en etkili azalma 4000 Hz ve 6667 Hz frekans deęerlerinde elde edilmiřtir. EAH deęerlerinde titreřimin uygulanması ile meydana gelen belirgin azalma alıřmanın genelinde tespit edilmiş en olumlu sonuçlardan biridir. Deneyler neticesinde elde edilen BA deęerlerinin tamamına yakınında titreřimsiz kořullara göre azalma gözlenmiřtir. 4000 Hz ve 6667 Hz frekans deęerlerinin bütün boşalım akımı deęerleri için BA deęerlerinde yüksek oranlarda azalmaya neden olduęu tespit edilmiřtir. 2222 Hz frekans deęerinin ise BA deęerleri üzerinde dięer frekans deęerleri kadar etki oluřturmadıęı tespit edilmiřtir. İřparasına uygulanan titreřimlerin 25 A deneylerinin çoęunda R_a deęerlerini azalttıęı, 12 A deneylerinde ise R_a 'da önemsiz artışların olduęu tespit edilmiřtir.

Uygulanan titreřimlerin iřleme derinlięine baęlı olarak küçük akım deęerinde İİH üzerinde daha etkili olduęu tespit edilmiřtir. İřparasına uygulanan titreřimler EAH deęerlerini titreřimsiz kořullara göre tüm iřleme derinliklerinde genelde azaltmıřtır. Uygulanan titreřimlerin EAH üzerindeki olumlu etkisi iřleme derinlięinin artışı ile azalmıřtır. İřparasına uygulanan titreřimler ile BA her iřleme derinlięi kořulu için azalmıřtır. İİH ve R_a deęerleri aynı iřleme derinliklerinde artmıřtır. Uygulanan titreřimlerin İİH deęerlerinde çok etkili olmadıęı derin iřleme kořullarında R_a deęerlerinin azaldıęı tespit edilmiřtir. İřleme derinlięinden baęımsız olarak yüksek akım deęerinde uygulanan titreřimler R_a 'yı azaltmıřtır.

Bu alıřma sonrasında iřparasına uygulanan titreřimlerin özellikle EAH ve BA deęerlerini belirgin bir řekilde azalttıęı, İİH deęerlerini küçük miktarlarda arttırırken R_a deęerlerini küçük miktarlarda azalttıęı ortaya ıkmıřtır. EEİ'de elektrot tasarımı ve üretiminin toplam iřleme maliyetinin büyük bir kısmını oluřturduęu düşünöldüęünde EAH deęerlerinin azalmasını saęlayan iřparası titreřiminin önemi açıka görölebilir.

5. KAYNAKLAR

1. Chen, S.L., Yan, B.H., Huang, F.Y., 1999, "Influence of kerosene and distilled water as dielectrics on the electric discharge machining characteristics of Ti-6Al-4V", Journal of Materials Processing Technology, 87 (1-3), 107-111.
2. Bayramoęlu, M., 1995, "Dalma elektro erozyon tezgahları ve nümerik kontrol", Makina ve Metal Teknolojisi, 45, 157-160.
3. Masuzawa, T., Heuvelman, C.J., 1983, "A self flushing method with spark erosion machining", Annals of the CIRP, 32 (1), 109-111.
4. Schumacher, B. M., 1990, "About the role of debris in the gap during electrical discharge machining", Annals of the CIRP, 39 (1), 197-199.

5. Ozgedik, A., Cogun, C., 2006, An experimental investigation of tool wear in electric discharge machining, *The International Journal of Advanced Manufacturing Technology*, 27 (5-6), 488-500.
6. Zhixin, J., Jianhua, Z., Xing, A., 1997, "Study on a new kind of combined machining technology of ultrasonic machining and electrical discharge machining", *International Journal of Machine Tools and Manufacture*, 37 (2), 193-199.
7. Zhixin, J., Jianhua, Z., Xing, A., 1995, "Ultrasonic vibration pulse electro-discharge machining of holes in engineering ceramics", *Journal of Materials Processing Technology*, 53 (3-4), 811-816.
8. Zhixin, J., Xing, A., Jianhua, Z., Zhaoliang, A., 1995, "Combined machining of USM and EDM for advanced ceramics", *Journal of Advanced Materials*, 26 (3), 16-20.
9. Thoe, T.B., Aspinwall, D.K., Killey, N., 1999, "Combined ultrasonic and electrical discharge machining of ceramic coated nickel alloy", *Journal of Materials Processing Technology*, 92-93, 323-328.
10. Yeo, S.H., Goh, K.M., 2001, "The effect of ultrasound in micro electro discharge machining on surface roughness", *Proceedings of the Institution of Mechanical Engineers, Part B: Journal of Engineering Manufacture*, 215 (2), 271-276.
11. Sundaram, M.M., Pavalarajan, G.B., Rajurkar, K.P., 2008, "A study on process parameters of ultrasonic assisted micro EDM based on taguchi method", *Journal of Materials Engineering and Performance*, 17 (2), 210-215.
12. Hao, T., Yang, W., Yong, L., 2008, "Vibration-assisted servo scanning 3D micro EDM", *Journal of Micromechanics and Microengineering*, 18 (2), 1-8.
13. Changshui Gao, C., Liu, Z., 2003, "A study of ultrasonically aided micro-electrical-discharge machining by the application of workpiece vibration", *Journal of Materials Processing Technology*, 139 (1-3), 226-228.
14. Özgedik, A., Çoğun, C., 2011, "Elektro-Erozyon İle İşlemede İşleme Haznesine Uygulanan Titreşimlerin İşleme Performansına Etkilerinin İncelenmesi", *Makine Teknolojileri Elektronik Dergisi* (8-3), 13-25.